

АЗƏРБАЙЧАН ССР ЭЛМЛƏР АКАДЕМИЯСЫНЫН

ХƏБƏРЛƏРИ

ИЗВЕСТИЯ

АКАДЕМИИ НАУК АЗЕРБАЙДЖАНСКОЙ ССР

№ 8

Август

1951

ГОД ИЗДАНИЯ СЕМНАДЦАТЫЙ

АЗƏРБАЙЧАН ССР ЭА НƏШРИЯТЫ  
ИЗДАТЕЛЬСТВО АН АЗЕРБАЙДЖАНСКОЙ ССР  
БАКЫ—БАКУ

Р. Д. ДЖАФАРОВ

### СТРОЕНИЕ НИЖНЕЙ ЧЕЛЮСТИ БИНАГАДИНСКОГО НОСОРОГА

Бинагадинские раскопки дали обильный палеонтологический материал. Одним из наиболее многочисленных в добытой коллекции ископаемых животных оказались экземпляры одного вида носорога—*Rhinoceros*, представленные, кроме обильных остатков конечностей, 28 нижними челюстями, как цельными, так и фрагментами различного возраста от самых молодых—*juventi* до глубоких стариков—*senecti*.

В данной статье мы даем описательную часть исследования над нижними челюстями и степенью стирания зубов. Такого большого количества нижних челюстей одного вида носорога из одного пункта и одного геологического возраста нигде до сих пор не найдено. В Старуни (Западная Украина) найдены две мумии шерстистого носорога *Rhinoceros tichorinus*. Бинагадинское местонахождение является самым богатым в мире скоплением массового количества остатков носорогов.

В палеолитических стоянках СССР носорог представлен единственным видом—шерстистым носорогом *Rhinoceros tichorinus*. В составе фауны палеолита носороги не являются многочисленными животными. На основании литературных данных нами составлена сводная таблица 1 встречаемости носорогов в различных палеолитических стоянках. Из приведенной ниже таблицы видно, что носороги в некоторых стоянках отсутствуют. Так, например, носорог до сих пор не найден ни в одной из палеолитических стоянок Кавказа. В некоторых стоянках носорог представлен единичными экземплярами.

При учете костей носорогов из бинагадинских раскопок нами констатированы 28 экземпляров нижних челюстей: целых—5, половинных—12 и фрагментов—11.

По возрасту молодых *juv*—7, полувзрослых *semiad*—11, взрослых *ad*—6, стариков *sen*—4.

Геологический возраст и глубина залегания всех описываемых челюстей одинаковы.

Описание нижних челюстей начинаем по восходящей линии—от молодых к старым.

Промеры зубов нижних челюстей выведены в измерительных таблицах в конце этой статьи.

Таблица 1

№ по пор.	Наименование местностей	Название вида	Количество особей
1	Долина р. Десны (Мезин) . . . . .	<i>Rhinoceros thichorinus</i>	2
2	Группа Чулатовских стоянок (Чулатово, Крейдянский майдан) . . . . .	"	2
3	Новгород-северские стоянки . . . . .	"	7
4	Группа Тушкарских стоянок . . . . .	"	2
5	Группа Брянских стоянок . . . . .	"	Единые находки
6	Долина р. Судости (приток р. Десны) . . . . .	"	
7	Долина р. Лория (приток р. Ужа) . . . . .	"	5
8	Фауна палеолита бассейна р. Дона . . . . .	"	
9	Фауна палеолита в бассейне р. Оки . . . . .	"	1
10	Палеолит в бассейне рр. Днестра и Прута . . . . .	"	
11	Фауна палеолита Крыма . . . . .	"	
12	Стоянка Толицкого . . . . .	"	
13	Палеолитические стоянки в бассейне рр. Селенги и Лены . . . . .	"	
14	Верхотенская гора . . . . .	"	

При описании стирания зубов нами составлена определенная схематическая шкала разных степеней стирания, которой мы пользуемся при характеристике степени стирания.

#### ВОЗРАСТНЫЕ СТАДИИ В СТИРАНИИ ЗУБОВ НИЖНИХ ЧЕЛЮСТЕЙ БИНАГАДИНСКИХ НОСОРОГОВ

1. Отсутствие следов стирания—зуб молодой, еще совершенно не подвергавшийся стиранию.
2. Слабая степень стирания—зуб, у которого лопиды стерты узкой полоской.
3. Средняя степень стирания—зуб с исчезающими границами между лопидами. Лопиды имеют вид сплошных полос. Долинки между лопидами сохраняются.
4. Более чем средняя степень стирания—зуб, у которого долинки между лопидами идут к исчезновению.
5. Сильная степень стирания—у зуба долинки исчезают и лопиды сливаются в одну сплошную поверхность.
6. Полная изношенность—у зуба исчезает эмалевая кайма, коронка утончается и местами стирается до корня с образованием отверстий на месте пульпы.

#### 1. Молодые—juvenes

Нижняя челюсть, правая ветвь—mandibula dex. № 1, имеются следующие молочные зубы;  $Pd_7$ ,  $Pd_7$  вырезывается  $Pd_7$  для  $M_7$  оконтуривается зачаток альвеолы.  $Pd_7$  уже выпал.

Тело нижней челюсти—corpus mandibule с латеральной стороны имеет 4 отверстия подбородочные—*foramina mentalia*. Первое из них

размером  $6 \times 4$  мм. Это отверстие внутри перегородкой делится на две части.

Входящая ветвь нижней челюсти—*ramus mandibule* на верхнем конце раздваивается на два отростка: передний—венечный *processus coronoideus*, верхушка которого отломлена; задний отросток, сочленовый *processus condyloideus*,—целый.

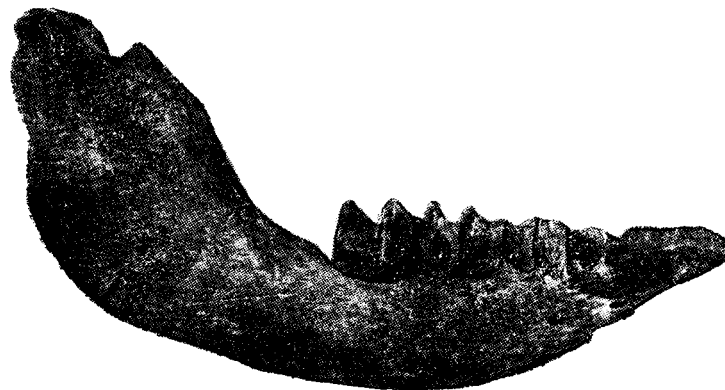


Рис. 1  
Бинагадинский носорог (*Phinoceros* sp. juvenis).  
Правая половина нижней челюсти молодой особи с 4 молочными зубами.  
Латеральная поверхность ( $1/2$  нат. вел).

Входящая ветвь с внутренней стороны у границы отверстий—*foram. mandibule* обломана.

2. Нижняя челюсть, левая—*mandibula sin.* № 2. Зубы данной челюсти:  $Pd_7$ ,  $Pd_7$ ,  $Pd_7$ . У  $M_7$  оконтурена альвеола. Симфизимальная часть челюсти отломана вместе с  $Pd_7$ , благодаря чему у нее *foramina ment.* отсутствуют. Отломан также венечный отросток—*proc. coronoideus*, *gonion caudale* дефектная.



Рис. 2  
То же, жевательная поверхность ( $1/2$  нат. вел).

3. Правая челюсть—*mandibula dex.* № 3. Выпал  $Pd_4$ , а у  $M_7$  оконтуривается альвеола. Венечный и сочленовый отростки *proc. coronoideus* et *proc. condyl.* целые. Подбородочных отверстий—*foram. mentalia*—3.

4. Правая нижняя челюсть—*mand. dex.* № 4 (рис. 1 и 2). Имеет все молочные зубы, у  $M_7$  вырезывается альвеола. *Foram., ment.*—2, из которых переднее отверстие больше второго, размер  $8 \times 3$  мм. Симфизимальная часть с шероховатым резцовым краем, на котором ясно видны остатки альвеолярных углублений.

5. Нижняя челюсть—mand. № 5. В данной челюсти в правой половине сохранился  $Pd_1$  у которого остался только ободок эмали на коронке зуба. Имеются  $Pd_2$ ,  $Pd_3$ ,  $Pd_4$  сохранился также в левой половине челюсти.  $M_1$  вырезывается. На месте  $M_2$  контуры альвеолы. В левой половине описываемой челюсти сохранилась альвеола для  $Pd_1$ , но сам зуб уже выпал. Имеется  $Pd_2$ ,  $Pd_3$ , и  $Pd_4$  вырезывается, у  $M_2$ —контур альвеолы. Подбородочные отверстия—*foram. mentalia* имеются на нижней половине челюсти по 4 в каждой половине. Расположены несимметрично, самое большое из этих отверстий размером  $9 \times 5$  мм. В левой половине челюсти венечный отросток обломан. Перелом свежий, тогда как в правой половине у этого же отростка лишь обломана верхушка. Перелом свежий. В правой половине челюсти пункт—*gonion caudale* поврежден.

6. Правая половина—mand. dex. № 6. У челюсти обломан режцовый край, также отломаны коронки  $Pd_1$  и  $Pd_2$ , а  $Pd_3$  и  $Pd_4$  немного повреждены.  $M_1$  виден в альвеоле. У  $M_2$  образуется альвеола. *Proc. condyloid.* обломано полностью. *Foramena mentalia*—подбородочных отверстий 3, лежат они в одной горизонтальной линии, средний размер  $8 \times 5$  мм.

7. Нижняя челюсть, фрагмент правой половины челюсти—mand. dex. № 7. Отсутствует симфизарная часть челюсти с  $Pd_1$ . Имеются  $Pd_2$ ,  $Pd_3$ , эмаль их сильно стерта. Кзади от уровня половины  $Pd_4$  челюсть обломана.

## II. Полузрелые—*semiadulti*

8. Нижняя челюсть, правая половина—mand. dex. № 8. Отсутствует передняя часть челюсти до уровня  $Pd_4$ . Кроме этого зуба имеются  $M_1$ , а  $M_2$  виден в альвеоле, для  $M_3$  намечены контуры альвеолы. Обломаны оба отростка—венечный и сочленовый и область *gonion caudale*.

9. Нижняя челюсть, правая половина—mand. dex. № 9. Обломана передняя часть челюсти до  $Pd_3$ . У  $Pd_3$  сильно стерта коронка, лодиды слились и образовалась сплошная жевательная поверхность. У коронки  $Pd_4$  металофид сильно стерт, тогда как гиполофид стерт гораздо слабее и широкой полосой (ширина 5 мм) непосредственно сливается с металофидом. Имеется  $M_1$   $M_2$  прорезывается,  $M_3$ —в глубине альвеолы. Обломан мышцелковый отросток *proc. condyl.*

10. Фрагмент правой половины—mand. dex. № 10. Выпали оба  $Pd_3$ . У  $Pd_2$  эмаль сильно стерта, а у  $Pd_3$  стертость эмали меньшая, у  $Pd_4$  эмаль стерта незначительно. Имеется  $M_1$  а  $M_2$  выпал. Кзади от  $M_2$  тело горизонтальной ветви обломано. Поверхность перелома старая.

Подбородочных отверстий—*foram. ment.*—4, расположенных в одной горизонтальной линии; самое большое отверстие первое, размер— $13 \times 5$  мм.

11. Нижняя челюсть цельная—mand. № 11. Сохранилась симфизарная часть челюсти с режцовым краем, на котором видны альвеолярные углубления. Выпали оба  $Pd_1$ . В правой половине челюсти имеются  $Pd_2$ ,  $Pd_3$  с сильно стертой жевательной поверхностью. Далее  $Pd_4$  со слабой степенью стирания и  $M_1$ —без следов стирания.  $M_2$  виден в альвеоле. У  $M_3$  образуется отверстие альвеолы. Подбородочные отверстия *foram. ment.* расположены по три с каждой

стороны челюсти. У обеих половин челюсти обломаны венечные и сочленовые отростки.

12. Нижняя челюсть, правая ветвь—mand. dex. № 12. Симфиз обломан. Зубы  $Pd_1$ ,  $Pd_2$ ,  $Pd_3$  с сильно стертой жевательной поверхностью, благодаря чему у них образовалась сплошная площадка, у  $Pd_4$  жевательная поверхность стерта слабее. Гиполофид соединен узкой полоской (ширина 5 мм) с металофидом.  $M_1$  развит хорошо,  $M_2$  виден в альвеоле. У  $M_3$  альвеола начинает вырезываться. Подбородочных отверстий *foram. ment.*—4, самое большое из них второе, размером  $8 \times 4$  мм. Неповрежденными являются венечный и сочленовые отростки. Высота челюсти от уровня поверхности, на которой находится челюсть, до вершины венечного отростка 222 мм.

13. Нижняя челюсть—mand. № 13. Цельная. На правой половине у  $Pd_1$ ,  $Pd_2$ ,  $Pd_3$  жевательные поверхности сильно стерты. У  $Pd_4$  стертость значительно меньшая. Имеется  $M_1$ . У  $M_2$  верхушка коронки вышла из альвеолы, у  $M_3$  альвеола начинает прорезываться.

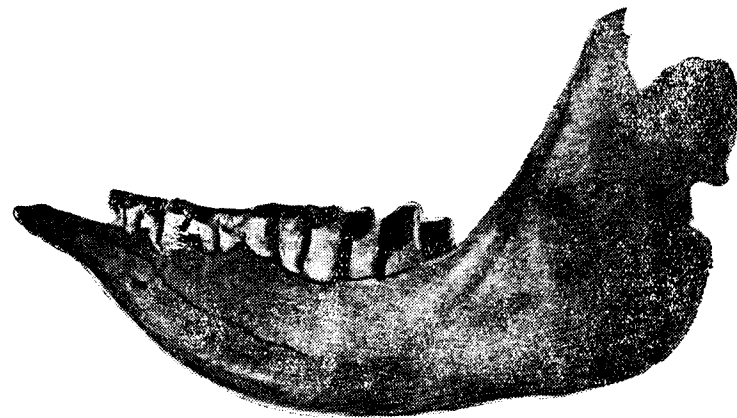


Рис. 3

Бинагадинский носорог (*Rhinoceros* sp. *semiadultus*).  
Нижняя челюсть полузрелой особи в стадии смены зубов ( $Pd_1$ — $Pd_4$ ,  $M_1$ ,  $M_2$ ).  
Латеральная поверхность левой половины ( $1/4$  nat. вел.)

Подбородочных отверстий—*foram. ment.*—по 4 на каждой половине, средний размер их  $8 \times 4$  мм. Высота черепа от поверхности предмета, на котором находится челюсть, до вершины венечного отростка—345 мм, с латеральной стороны и до вершины сочленовой поверхности—200 мм.

14. Нижняя челюсть, левая половина—mand. sin. № 14. У челюсти имеются два молочных зуба, жевательная поверхность которых сильно стерта. Оформился  $M_1$ , а  $M_2$  виден в альвеоле. У  $M_3$  альвеола прорезывается. У симфиза режцовый край шероховатый, с заметными следами альвеол режцов.

*Foram. ment.*—7, средний размер их  $7 \times 3$  мм. Высота челюсти от поверхности предмета, на котором находится челюсть, до вершины венечных отростков—205 мм.

15. Нижняя челюсть—mand. № 15 (рис. 3 и 4). Цельная. Остановимся более подробно на описании зубной системы этой челюсти, так как в ней представлена типичная форма смены зубов. Мо-

лочные зубы  $Pd_1^-$ ,  $Pd_2^-$  и  $Pd_3^-$  находятся в стадии смены. Жевательная поверхность их сильно стерта и коронка настолько утончена, что местами образует отверстия, например, у  $Pd_3^-$  на жевательной поверхности посредине между корнями коронки: в альвеоле виден вырезающийся  $P_3^-$ . У  $Pd_1^-$  и  $Pd_2^-$  корни на большую часть длины их вышли наружу, в альвеоле виден  $P_1^-$ , выталкивающий сразу два молочных зуба  $Pd_1^-$  и  $Pd_2^-$ . У  $Pd_4^-$  жевательная поверхность стерта, но еще функционирует.  $M_1^-$  оформился окончательно, у  $M_2^-$  большая часть коронки еще в альвеоле.  $M_3^-$  виден в глубине альвеолы.

Левая ветвь описываемой челюсти имеет 4 подбородочных отверстия—*foram. ment.* Правая половина средней части симфиза обломана. Высота челюсти от поверхности, на которой находится челюсть, до вершины венечного отростка 233 мм.

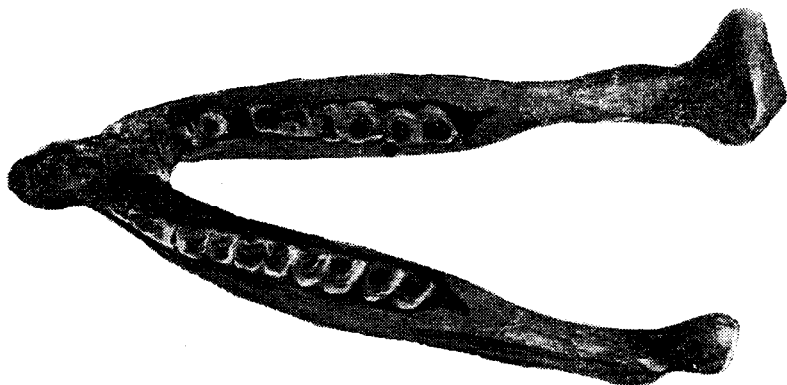


Рис. 4  
То же, жевательная поверхность ( $2/3$  нат. вел.)

16. Нижняя челюсть—*mand.* № 16. Целая, за исключением ее отсутствующих восходящих ветвей обеих половин (у левой кзади от  $M_1^-$ ). В правой половине выпал  $P_1^-$ . Имеется еще окончательно не оформившийся  $P_2^-$ ,  $Pd_3^-$  — с сильно стертой жевательной поверхностью,  $M_1^-$  окончательно оформился и его жевательная поверхность уже стирается,  $M_2^-$  оформился окончательно,  $M_3^-$  виден в глубине альвеолы. В левой половине челюсти половина коронок уже вышла из альвеол у зубов  $P_2^-$  и  $P_3^-$  за ними еще сохранился  $Pd_4^-$  с резко стертой жевательной поверхностью, у  $M_1^-$  жевательная поверхность в стадии стирания.

Симфиз целый, резцовая поверхность шероховатая, со следами резцовых альвеол.

17. Фрагмент левой ветви нижней челюсти—*mand. sin.* № 17. Зубная система состоит из  $Pd_3^-$  и  $Pd_4^-$  со стертой жевательной поверхностью,  $M_1^-$  еще окончательно не оформился,  $M_2^-$  виден в альвеоле. У  $M_3^-$  намечается отверстие альвеолы. У челюсти отломана часть ветви кпереди от  $Pd_3^-$  и восходящая ветвь.

18. Нижняя челюсть—*mand.* № 18. Зубная система находится в нижеследующем состоянии: в правой половине тела зубы,  $P_2^-$  и  $P_3^-$  оформились, но еще с нестертой жевательной поверхностью, у  $Pd_4^-$  сильно стерта жевательная поверхность, у него между корнями обнаруживается  $P_4^-$ , за ним оформились  $M_1^-$  и  $M_2^-$ .  $M_3^-$  находится в альвеоле. В левой половине тела  $P_2^-$  выпал,  $P_3^-$  уже оформился. За ним

находится  $Pd_4^-$  с сильно стертой жевательной поверхностью. Толщина коронки его утончена до 9 мм с медиальной стороны, а между корнями этого зуба показывается коронка  $P_4^-$ , вследствие чего коронка  $Pd_4^-$  разломалась посредине между двумя корнями.  $M_1^-$  с мало стертой жевательной поверхностью,  $M_2^-$  окончательно оформился,  $M_3^-$  виден в глубине альвеолы.

В передней части симфиза шероховатый резцовый край со следами резцовых альвеол.

Подбородочных отверстий *foram. ment.* на правой половине—7, на левой—5, самое большое отверстие имеет размер  $19 \times 8$  мм, отверстия расположены несимметрично.

На правой ветви отломан венечный отросток *proc. coronoid.* На левой ветви отломан венечный и сочленовый отростки—*proc. coron. et proc. condyl.*

### III. Взрослые—*adulti*

19. Нижняя челюсть, полная—*mand.* № 19 (рис. 5 и 6). Сохранилась серия зубов  $P_2^-$ ,  $P_3^-$ ,  $P_4^-$  и  $M_1^-$  в слабой степени стирания, т.е. лофиды у них стерты узкой полоской. У  $M_2^-$ —степень стирания



Рис. 5  
Бинагадинский носорог (*Rhinoceros* sp. *adultus*). Нижняя челюсть взрослой особи. Латеральная поверхность левой половины ( $1/2$  нат. вел.)

незначительная, так как у них перегородка между лофидами сохранилась,  $M_3^-$  совершенно не подвергался стиранию.

Симфиз по бокам обломан, резцовый край шероховатый, со следами резцовых альвеол.

Подбородочные отверстия—*foram. ment.* по 5 на каждой половине. Самое большое отверстие второе в правой половине, размер  $18 \times 8$  мм.

Венечные и мышечковые отростки на обеих ветвях обломаны.

20. Нижняя челюсть полная—*mand.* № 20. В правой половине у  $P_1^-$  и  $P_2^-$  коронки обломаны, у  $P_3^-$  стирание жевательной поверхности слабое, т.к. перегородка между лофидами сохранилась. У  $M_1^-$  стирание в средней степени, граница между лофидами исчезла, но ямки сохранились. У  $M_2^-$  стирание в слабой степени, лофиды узкой полоской соединены между собою.  $M_3^-$  зуб молодой, еще не подвергся стиранию. Степень стирания зубов в левой половине челюсти аналогичная. У  $M_2^-$  граница между лофидами исчезла. Металофид и гиполофид соединены узкой перемычкой (ширина 4 мм). Жевательная поверхность металофида сильно стерта.

Симфиз полный, стерт значительно слабее. Резцовый край шероховатый, со следами резцовых альвеол.

Подбородочных отверстий на левой половине—5, на правой—7. Расположение отверстий несимметрично.

Венечные отростки—*proc. coronoidei*, обломаны в период отложения в породе. Обломана также латеральная часть мышелкового отростка—правой стороны челюсти.

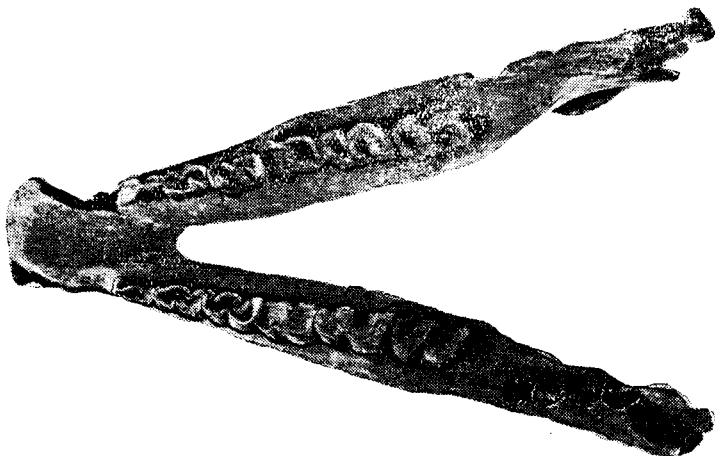


Рис. 6  
То же, жевательная поверхность ( $\frac{3}{5}$  нат. вел.)

21. Нижняя челюсть—*mand.* № 21. Дефектна. В левой половине кзади от металофида  $M_1$  отломано тело. У  $P_2$ ,  $P_3$ ,  $P_4$  и  $M_1$  средняя степень стирания, так как граница между лопидами исчезла, и лопиды соединились между собою узкой полоской, ширина которой равна посредине 5 мм. У  $M_2$  степень стирания выражена слабо. Границы между лопидами еще сохранились. Степень стирания менее средней.

Симфизальная часть зуба целая, с резцовым шероховатым краем со следами резцовых альвеол.

Подбородочных отверстий—*foram. ment.* по 4 у обеих половин, самое большое отверстие размером 14×10 мм. На обеих половинах венечные и мышелковые отростки отломаны.

22. Нижняя челюсть—*mand.* № 22. Целая, с полной зубной системой. Зубы обеих половин  $P_2$ ,  $P_3$ ,  $P_4$  и  $M_1$  в средней степени стирания,  $M_2$  с более чем средней степенью стирания, так как этот зуб появляется раньше всех остальных постоянных зубов, у  $M_3$  степень стирания менее чем средняя.

Симфизарная часть целая, с шероховатым резцовым краем и с двумя резцовыми альвеолами. Подбородочных отверстий 6 на правой стороне и 5—на левой.

У правой половины кзади от  $M_3$  челюсть обломана, левая половина имеет венечный и мышелковые отростки.

23. Фрагмент правой половины—*mand. dex.* № 23 сильно дефективной челюсти.  $M_3$  со слабо стертой же-

вательной поверхностью, отсутствует передняя часть зуба до  $M_3$ . Правая ветвь не имеет венечного отростка.

24. Левая половина нижней челюсти—*mand. sin.* № 24. Отсутствуют  $P_2$ ,  $P_3$ ,  $P_4$  и  $M_1$  со слабой степенью стирания, а  $M_2$  более чем в средней степени стирания,  $M_3$ —в слабой степени стирания.

В симфизарной части бока и резцовый край отломаны. Подбородочных отверстий—6, венечный и мышелковый отростки повреждены и дефектны.

#### IV. Старые—*senecti*

25. Целая нижняя челюсть—*mand.* № 25. Полная серия зубов, находящихся в сильной степени стирания: ямки лопидов исчезли и лопиды слились, образовав сплошную жевательную поверхность. На боковых сторонах коронок  $P_2$ ,  $P_3$  и  $P_4$  сохранилась полностью эмалевая кайма. На переднем и заднем краях жевательной поверхности эмалевой каймы уже нет. У  $M_1$ ,  $M_2$  и  $M_3$  эмалевая кай-

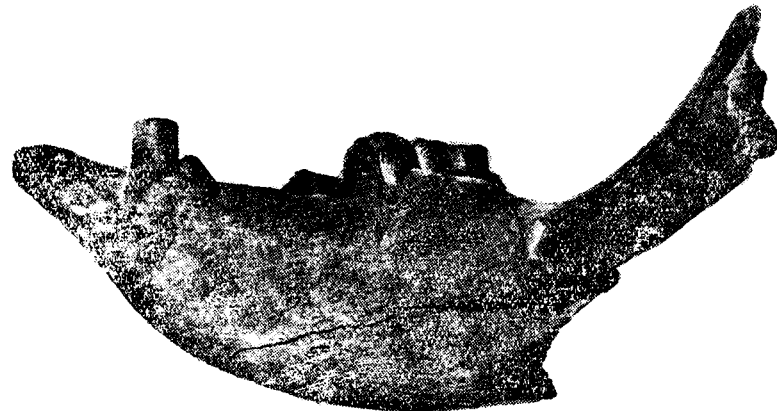


Рис. 7  
Винагадинский носорог (*Rhinoceros* sp. *senectus*). Нижняя челюсть старой особи. Латеральная поверхность левой половины. ( $\frac{1}{4}$  нат. вел.)

ма сохранилась лишь местами на задней латеральной стороне.  $M_1$  и  $M_2$  левой половины и  $M_1$  правой имеют с латеральной стороны резко выраженные выемки, образованные выступами краевой эмали зубов верхней челюсти, у  $M_1^1$ ,  $M_2^2$  левой половины и  $M_2^2$  правой половины.

При перетирании пищи постепенно у этих зубов стиралась зубная поверхность и образовывались вышеуказанные выемки.

Симфиз левой половины целый, с резцовым шероховатым краем. У правой половины верхушка симфиза отломана.

Подбородочных отверстий по 4 на каждой половине челюсти. Самое большое из них размером 20×9 мм. На правой половине верхушка венечного отростка отломана, у левой половины—целая.

Высота нижней челюсти, измеренная от поверхности, на которой стоит челюсть, до вершины венечного отростка, 271 мм, до верхней поверхности мышелкового отростка—215 мм.

26. Фрагмент левой половины целой челюсти—*fr. mand. sin.* № 26. На данном фрагменте имеются  $P_2$ ,  $P_3$  и  $P_4$







Продолжение таблицы 5

№ по пор.	Третий премоляр P <sub>3</sub>	Бинагадинский носорог— <i>Rhinoceros</i> sp.							
		взросл. — ad.				Стар. — sen.			
		mand. № 19	id. № 20	id. № 21	id. № 22	id. № 24	id. № 25	id. № 26	fr. mand. № 27
5	Наибольшая высота коронки через вершину зуба с наружной стороны . . . . .	23	28	22	21	19	17	14	20
6	Длина металофида по диагонали жевательной поверхности . . . . .	24	20	25	20	25	32	24	27
7	Длина гиполофида по диагонали жевательной поверхности . . . . .	22	22	24	18	21	24	25	25
8	Длина металофида с латеральной стороны непосредственно ниже уровня жевательной поверхности . . . . .	15	14	14	16	18	14	14	15
9	Длина гиполофида с латеральной стороны в проекции . . . . .	18	18	17	17	16	17	17	17
10	Ширина соединительной перемычки между металофидом и гиполофидом . . . . .	9	9	7	13	12	18	19	14

Таблица 6

№ по пор.	Четвертый премоляр P <sub>4</sub>	Бинагадинский носорог— <i>Rhinoceros</i> sp.					
		взросл. ad.					стар. sen.
		mand. № 19	id. № 20	id. № 21	id. № 22	mand. № 24	id. № 25
1	Наибольшая длина коронки зуба	37	35	36	38	38	35
2	Длина жевательной поверхности	35	36	39	38	38	34
3	Наибольшая ширина коронки зуба	28	26	29	30	28	30
4	Наибольшая ширина жевательной поверхности	21	22	22	25	25	29
5	Наибольшая высота коронки через вершину зуба с наружной стороны	31	32	29	27	24	20
6	Длина металофида по диагонали жевательной поверхности	24	24	27	26	23	25
7	Длина гиполофида по диагонали жевательной поверхности	23	24	26	28	25	27
8	Длина металофида с латеральной стороны непосредственно ниже уровня жевательной поверхности	18	15	15	16	18	15

Продолжение таблицы 6

№ по п.р.	Четвертый премоляр P <sub>4</sub>	Бинагадинский носорог— <i>Rhinoceros</i> sp.					
		взросл. ad.					стар. sen.
		mand. № 19	id. № 20	id. № 21	id. № 22	mand. № 24	id. № 25
9	Длина гиполофида с латеральной стороны в проекции . . . . .	18	18	19	20	18	21
10	Ширина соединительной перемычки между металофидом и гиполофидом . . . . .	7	5	7	10	9	20
11	Средняя толщина эмали на жевательной поверхности	0,5	0,5	1	1	1,5	1,5
12	Глубина refossette с медиальной стороны	—	4	—	—	—	—
13	Глубина postfossette с медиальной стороны . . . . .	6	14	13	—	—	—

Таблица 7

№ по пор.	M <sub>T</sub>	Бинагадинский носорог— <i>Rhinoceros</i> sp.						
		взросл. ad.					стар. sen.	
		mand. № 19	id. № 20	id. № 21	id. № 22	mand. № 24 sin.	mand. № 25	id. № 28
1	Наибольшая длина коронки зуба	40	42	42	38	43	40	34
2	Длина жевательной поверхности	40	42	42	35	42	38	42
3	Наибольшая ширина коронки зуба	30	31	29	31	24	33	30
4	Наибольшая ширина жевательной поверхности зуба	23	24	25	26	28	31	30
5	Наибольшая высота коронки через вершину зуба с наружной стороны	27	23	27	19	21	13	10
6	Длина металофида по диагонали жевательной поверхности	25	30	27	31	31	—	—
7	Длина гиполофида по диагонали жевательной поверхности	30	31	30	31	35	—	—
8	Длина металофида с латеральной стороны непосредственно ниже уровня жевательной поверхности гиполофида	18	18	18	17	20	19	17
9	Длина гиполофида с латеральной стороны в проекции	23	28	28	22	23	23	—

Продолжение таблицы 7

№ по пор.	МГ Наименование промеров, в мм	Бивагадинский носорог— <i>Rhinoceros</i> sp.						
		взросл. ad.					стар. sen.	
		mand. № 19	id. № 20	id. № 21	id. № 22	mand. № 24 sin.	mand. № 25	id. № 28
10	Ширина соединительной перемычки между металофидом и гиполофидом	11	9	9	19	—	—	—
11	Глубина prefossette с медиальной стороны	—	—	—	—	—	—	—
12	Глубина postfossette с медиальной стороны	2	7	10	—	—	—	—
13	Средняя толщина эмали на жевательной поверхности	0,5	1	1	1	1	1,5	—

Таблица 8

№ по пор.	Второй коренной зуб М <sub>2</sub> Наименование промеров, в мм	Бивагадинский носорог— <i>Rhinoceros</i> sp.						
		взросл. ad.					стар. sen.	
		mand. № 19	id. № 20	id. № 21	id. № 22	id. sin. № 24	mand. № 25	id. № 28
1	Наибольшая длина коронки зуба	49	48	46	45	49	42	40
2	Длина жевательной поверхности	50	47	47	47	48	43	41
3	Наибольшая ширина коронки зуба	33	29	30	33	34	35	31
4	Наибольшая ширина жевательной поверхности	24	25	23	28	26	29	25
5	Наибольшая высота коронки через вершину зуба с наружной стороны	34	32	34	31	29	31	24
6	Длина металофида по диагонали жевательной поверхности	30	28	30	31	24	—	—
7	Длина гиполофида по диагонали жевательной поверхности	30	30	31	34	30	—	—
8	Длина металофида с латеральной стороны непосредственно ниже уровня жевательной поверхности гиполофида	20	18	20	19	22	—	—
9	Длина гиполофида с латеральной стороны в проекции	28	25	29	23	27	—	24
10	Ширина соединительной перемычки между металофидом и гиполофидом	5	6	3	9	—	7	—
11	Глубина prefossette с медиальной стороны	—	2	3	—	—	—	—
12	Глубина postfossette с медиальной стороны	13	13	17	17	12	—	—
13	Средняя толщина эмали по жевательной поверхности	1,5	1	1	1	1	—	0,5

Таблица 9

№ по пор.	Третий коренной зуб М <sub>3</sub> Наименование промеров, в мм	Бивагадинский носорог— <i>Rhinoceros</i> sp.							
		взросл. ad.					стар. sen.		
		mand. № 19	id. № 20	id. № 21	id. № 22	mand. dex. № 23	id. sin. № 24	mand. № 25	mand. № 28
1	Наибольшая длина коронки зуба	48	47	50	46	47	49	44	47
2	Длина жевательной поверхности	46	42	48	51	49	48	48	50
3	Наибольшая ширина коронки зуба	28	30	28	30	30	29	31	31
4	Наибольшая ширина жевательной поверхности	19	18	19	24	25	28	—	28
5	Наибольшая высота коронки зуба с наружной стороны	41	40	40	39	38	30	26	22
6	Длина металофила по диагонали жевательной поверхности	26	20	25	29	28	29	—	31
7	Длина гиполофида по диагонали жевательной поверхности	27	23	27	33	30	32	—	34
8	Длина металофида с латеральной стороны непосредственно ниже уровня жевательной поверхности	23	22	22	22	23	20	20	24
9	Длина гиполофида с латеральной стороны в проекции	38	34	30	35	27	32	29	31
10	Ширина соединительной перемычки между металофидом и гиполофидом	—	—	—	—	—	—	—	11
11	Глубина prefossette с медиальной стороны	17	17	16	8	10	14	—	—
12	Глубина postfossette с медиальной стороны	25	27	34	20	23	17	—	—
13	Средняя толщина эмали по жевательной поверхности	1	1	1	1	1,5	—	—	1

ССР имеют 4 молочных зуба, еще совершенно не подвергавшиеся стиранию. Из них  $Pd_1$  начинает только подниматься над альвеолой.  $M_1$  виден в глубине альвеолы, которая находится в стадии образования. При дальнейшем росте челюсти начинается стирание лопидов молочных зубов по их гребням в виде узких полосок. Постепенно увеличивается альвеола  $M_1$ , ее зуб, лежащий в глубине альвеолы, начинает приподниматься из альвеолы. К этому времени молочные зубы уже несут следы более значительной степени стирания жевательной поверхности, и лопиды их сливаются между собою, соединяясь узкой полоской жевательной поверхности. В это же, приблизительно, время начинается стирание вершинного гребня  $Pd_1$ , так как последний лежит ниже уровня вершин остальных молочных зубов и начинает стираться несколько позже их. Намечается альвеола, в глубине которой виден зуб.  $M_1$  поднялся в уровень с аркадой молочных зубов и начинает слегка стираться. К этому же времени  $M_2$  поднимается из альвеолы. Жевательная поверхность  $Pd_2$  и  $Pd_3$  уже сильно расширена и долинки их коронок идут к исчезновению. У  $Pd_1$  лопиды соединены узкой полоской жевательной поверхности.  $M_2$  растет из альвеолы вверх, но еще не достигает уровня вершин остальных зубов, вследствие чего и не несет следов стирания.

У  $M_1$  лопиды пока обособлены, поверхность стирания представлена широкими полосками на лопидах. Лопиды у  $Pd_1$  слились, соединяясь широкой полоской между собою. У  $Pd_2$  и  $Pd_3$  — сплошная жевательная поверхность без следов лопидов.  $Pd_1$  — стерт вдоль гребня широкой полоской.

Наступает период смены зубов. К этому времени коронки первых трех молочных находятся в сильно изношенном состоянии. Коронка у них низкая, корни сильно приподняты над альвеолами, так как они выталкиваются снизу растущими молодыми постоянными ложно-коренными зубами. Смена молочных зубов происходит спереди назад. Из деталей интересно отметить, что  $Pd_1$  и  $Pd_2$  выталкиваются вместе, одновременно, их заместителем  $P_2$ .  $Pd_1$  сохраняется дольше всех молочных. К этому времени  $M_2$  успевает подняться на высоту общего уровня всех зубов, но еще не стирается. Образуется альвеола для  $M_3$ .

Из молочных зубов остается только  $Pd_1$ , жевательная поверхность которого представлена в виде сплошной плоскости.  $P_2$ ,  $P_3$  растут, но еще не достигают общего уровня зубного ряда.

У  $M_2$  металофиды стерт узкой полоской, гиполофид еще не подвергался стиранию.  $M_3$  в глубине альвеолы. У еще более взрослых челюстей  $P_4$  уже находится в стадии смены: его снизу выталкивает  $P_4$ .  $P_2$  достиг общего зубного уровня, слегка стирается по лопидам.  $P_3$  приблизился к этому уровню и еще не несет следов стирания. У  $M_2$  лопиды стерт узкими полосками.

Стадия постоянных зубов:  $M_3$  достиг уровня жевательной поверхности всех зубов и слегка стирается по металофиду. У  $M_2$  лопиды еще отделены друг от друга поперечным бортом эмалевого каймы.  $M_1$ , являющийся наиболее старым из всех постоянных зубов, стерт сильнее всех. Жевательная поверхность его сплошная с входящими внутренними долинками. У ложнокоренных жевательные поверхности лопидов соединены между собою широкой полоской.

У взрослых носорогов постоянные зубы нижней челюсти постепенно с возрастом претерпевают изменения жевательной поверхности, выражающиеся в расширении ее площади эмалевого рисунка. Этот

процесс раньше всего совершается у  $M_1$ , как наиболее старого зуба, и больше всего запаздывает у  $M_2$ , являющегося наиболее молодым зубом.

Изменение жевательной поверхности с возрастом заключается также в исчезновении границы между лопидами и превращения их отделов жевательной поверхности в одну сплошную площадь, а также в исчезновении долинок. В дальнем ишем неравномерно исчезает в разных участках коронки периферическая эмалевая кайма, и жевательная поверхность зуба приобретает вогнутую форму. Высота коронки резко уменьшается. В конце концов коронки стираются до корней и на жевательной поверхности на месте пульпы появляются отверстия. У наиболее старых особей начинается выпадение зубов, происходящее обычно спереди. Альвеолы выпадающих зубов с течением времени зарастают.

#### ЛИТЕРАТУРА

1. Беляева Е. И.—Об остатках ископаемого носорога из окрестностей г. Рыбинска. Бюллетень Комиссии по изучению четвертичного периода, № 5, 1939.
2. Громова В. И.—Об остатках носорога мерка (*Rhinoceros mercki jag*) с южной Волги. Труды Палеонтологич. ин-та, т. IV, 1935.
3. Джафаров Р. Д.—Ископаемый носорог *Rhinocerotidae* Кавказа. Изв. АН Азерб. ССР № 8, 1949.
4. Джафаров Р. Д. Строение подвязочной кости (os hypoideum) носорога. Изв. АН Азерб. ССР № 8, 1950.
5. Niezabitowski E. L.—Nosorożec włochaty Wykopalska starunskie. Krakow, 1914.
6. Черский И. Д.—Описание коллекции послетретичных млекопитающих животных, собранных Ново-сибирской экспедицией, 1885—1886 гг.

Р. Ч. Чафаров

Бинэгэди кэркэданынын алт чэнэсинин гурулушу

#### ХҮЛАСЭ

Мүэллиф бу мэгэлэдэ, мүхтэлиф яшлы 28 кэркэданын Бинэгэди газынтыларында тапылмыш алт чэнэсини тэсвир этмишдир. Бу галыгларын айд олдуғу нейванлар сырасында эн чаванлары вэ эн гочалары олмушдур. Кэркэдан галыгларынын чохлуғуна көрэ Бинэгэди дүняда эн энкин ердир. Мэгэлэнин тэсвири хиссэсини баша чатдырдыдан сонра мүэллиф, кэркэданларын яшларына көрэ дишлэрин ардычыл сурэтдэ сүртүлүб ейилмэсинин ганунауйғунлуғу вэ дишлэрин дэйишмэси хаггында үмуми нэгичэлэр чыхарыр. Кэркэдан дишлэринин бүтүн яшларда дэйишмэсини бу чүр муфэссал өйрэнмиш үмумилэшдиричи бир эсэр палеонтология эдэбийятында бу вахтадэк олмышдыр.